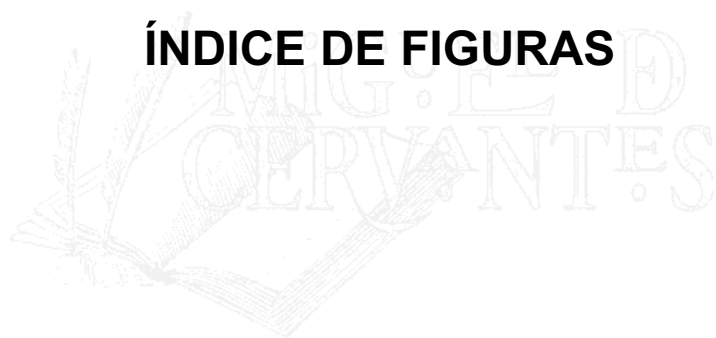


BIBLIOTECA VIRTUAL

ÍNDICE DE FIGURAS



Capítulo III

Figura.III.6.1. Histograma de probabilidad. Modelo 1	84
Figura.III.6.2. Residuos recursivos. Modelo 1	89
Figura.III.6.3. Suma acumulada de los residuos recursivos. Modelo 1.....	90
Figura.III.6.4. Gráficos de los coeficientes recursivos. Modelo 1.....	91
Figura.III.6.5. Histograma de probabilidad. Modelo 2.....	95
Figura.III.6.6. Residuos Recursivos. Modelo 2.....	99
Figura.III.6.7. Suma acumulada de los residuos recursivos. Modelo 2.....	100
Figura.III.6.8. Gráficos de los coeficientes recursivos. Modelo 2.....	101
Figura.III.6.9. Histograma de probabilidad. Modelo 3.....	106
Figura.III.6.10. Histograma de probabilidad. Modelo 3PC.....	112
Figura.III.6.11. Residuos recursivos. Modelo 3PC.....	116
Figura.III.6.12. Suma acumulada de los residuos recursivos. Modelo 3PC.....	117
Figura.III.6.13. Gráficos de los coeficientes recursivos. Modelo 3PC.....	118
Figura.III.6.14. Histograma de probabilidad. Modelo 4	123
Figura.III.6.15. Residuos recursivos. Modelo 4.....	126
Figura.III.6.16. Suma acumulada de los residuos recursivos. Modelo 4.....	127
Figura.III.6.17. Gráficos de los coeficientes recursivos. Modelo 4.....	128
Figura.III.6.18. Histograma de probabilidad. Modelo 3PCR.....	134
Figura.III.6.19. Residuos recursivos. Modelo 3PCR.....	137
Figura.III.6.20. Suma acumulada de los residuos recursivos. Modelo 3PCR.....	138
Figura.III.6.21. Gráfico de los coeficientes recursivos. Modelo 3PCR.....	139
Figura.III.6.22. Comparación de los estadísticos de los modelos considerados	142
Figura.III.6.23. Preorden total. Método Promethee	143
Figura.III.7.1. Cuadro de diálogo inicial. Programa BSTP	161
Figura.III.7.2. Opción de semilla.....	162
Figura.III.7.3. Selección de semilla.....	163
Figura.III.7.4. Cálculos de Q previos al comienzo de la Tabla X.....	164
Figura.III.7.5. Cálculo de las celdas de la Tabla X.....	166
Figura.III.7.6. Comparación de las predicciones convencional y bootstrap. Tabla S.....	168
Figura.III.7.7. Comparación de las predicciones convencional y bootstrap. Tabla W.....	173

Capítulo IV

Figura.IV.2.1. Procedimiento Box-Jenkins a través de un diagrama de flujo.....	198
Figura.IV.2.2. Evolución de la demanda de electricidad en la C.A. A. durante el periodo 1995-2000.....	203
Figura.IV.2.3. Gráfico desviación típica-media. Demanda mensual de energía eléctrica durante el periodo 1995-2000.....	204
Figura.IV.2.4. Diferencias estacionales de la demanda mensual de energía eléctrica en C.A.A. durante el periodo 1995-2000.....	206
Figura.IV.2.5. Cocientes estacionales de la demanda mensual de energía eléctrica en C.A.A. durante el periodo 1995-2000.....	206
Figura.IV.2.6. Valores reales, ajustados y límites de confianza de demanda mensual de electricidad en la C.A.A. Modelo A. E. Periodo 1995-2000.....	212
Figura.IV.2.7. Evolución demanda mensual de electricidad en CA.A. durante el periodo 1995-2000.....	215
Figura.IV.2.8. Gráfico desviación típica-media. Demanda mensual de energía eléctrica durante el periodo 1995-2000.....	216
Figura.IV.2.9. Histograma de probabilidad. QMENSUAL.....	216
Figura.IV.2.10. Histograma de probabilidad. LQ.....	217
Figura.IV.2.11. Evolución de la demanda mensual de electricidad en la C.A.A durante el periodo 1995-2000.....	219
Figura.IV.2.12. Histograma de probabilidad. DLQ.....	219
Figura.IV.2.13. Evolución de la demanda mensual de electricidad en la C.A.A. durante el periodo 1995-2000.....	221
Figura.IV.2.14. Evolución de la demanda mensual de electricidad en C.A.A. durante el periodo 1995-2000.....	225
Figura.IV.2.15. Histograma de probabilidad. D12LQ.....	225
Figura.IV.2.16. Función de autocorrelación del error. Modelo BJ-1.....	229
Figura.IV.2.17. Función de autocorrelación del error. Modelo BJ-2.....	229
Figura.IV.2.18. Función de autocorrelación del error. Modelo BJ-3.....	230
Figura.IV.2.19. Función de autocorrelación del error. Modelo BJ-4.....	230
Figura.IV.2.20. Valores reales, ajustados y límites de confianza (99%) en la demanda mensual de electricidad en la C.A.A. durante el periodo 1995-2001. Modelo BJ-1.....	234
Figura.IV.3.1. Consumo mensual de electricidad en C.A.A. durante el periodo 1995-2001.....	253
Figura IV.3.2. Consumo mensual de electricidad y grados equivalente (22° C) en C.A.A. durante el periodo 1995-2001.....	254
Figura.IV.3.3. Consumo mensual de electricidad y grados equivalentes retardados en C.A.A. durante el periodo 1995-2001.....	255

Figura.IV.3.4. Consumo mensual de electricidad trasladado y grados equivalentes (22° C) en C.A.A. durante el periodo 1995-2001	256
Figura.IV.3.5. Consumo mensual de electricidad trasladado y temperatura bruta en C.A.A. durante el periodo 1995-2001	256
Figura.IV.3.6. Diagrama de dispersión. Consumo de electricidad versus grados equivalentes mensuales 22° C	257
Figura. IV.3.7. Diagrama de dispersión. Consumo de electricidad versus grados equivalentes mensuales 22° C(-1)	258
Figura.IV.3.8. Promedio mensual de grados equivalentes (22° C) por año durante el periodo 1995-2001	259
Figura.IV.3.9. Patrón de consumo de electricidad durante los seis primeros meses durante el periodo 1995-2001	266
Figura.IV.3.10. Patrón de consumo de electricidad durante los seis últimos meses a lo durante el periodo 1995-2001	266
Figura.IV.3.11. Variación del consumo de electricidad y los correspondientes grados equivalentes (22° C)	267
Figura.IV.3.12. Media mensual de los grados equivalentes (22° C), 1995-2001	268
Figura.IV.4.1. Histograma de probabilidad. Modelo 22.4	276
Figura.IV.4.2. Valores reales, ajustados y límites de confianza de demanda mensual de electricidad en la C.A.A. Modelo 22.4. Periodo 1995-2000	281
Figura.IV.6.1. El consumidor ante la apertura del sector eléctrico y gasista	295

Capítulo V

Figura.V.3.1. Formas alternativas de medición de la eficiencia	310
Figura.V.3.2. Función de Producción Estimada	315
Figura.V.4.1. Estructura de la investigación	321
Figura.V.4.2. Evolución de los niveles de Eficiencia 1998-2001. Endesa	333
Figura.V.4.3. Evolución de los niveles de eficiencia 1998-2001. Hidrocantábrico	334
Figura.V.4.4. Evolución de los niveles de eficiencia 1998-2001. Iberdrola.	335
Figura.V.4.5. Evolución de los niveles de eficiencia 1998-2001. Unión Fenosa	336
Figura.V.4.6. Evolución de los niveles de eficiencia 1998-2001. Endesa	337
Figura.V.4.7. Evolución de los niveles de eficiencia 1998-2001. Hidrocantábrico	338
Figura.V.4.8. Evolución de los niveles de eficiencia 1998-2001. Iberdrola	339
Figura.V.4.9. Evolución de los niveles de eficiencia 1998-2001. Unión Fenosa	340

Apéndice

Figura.A.V.1. Flujos de Entrada y Salida de la j -ésima Unidad de Decisión	361
Figura.A.V.2. Una medida de la eficiencia técnica: $TE_{CRS} = OC/OB$	362
Figura.A.V.3. Situación geométrica de las empresas. CCR-Input	370
Figura.A.V.4. Pantalla EMS. Problema CCR-Input	371
Figura.A.V.5. Situación geométrica de las empresas. BCC-Output	377
Figura.A.V.6. Pantalla EMS. Problema BCC-Output	378

Anexo

Figura.A.III.1. Índice de Theil. Modelo 1.(1999)	395
Figura.A.III.2. Índice de Theil. Modelo 1.(1998-1999)	395
Figura.A.III.3. Índice de Theil. Modelo 2.(1999)	396
Figura.A.III.4. Índice de Theil. Modelo 2.(1998-1999)	396
Figura.A.III.5. Índice de Theil. Modelo 3.(1999)	397
Figura.A.III.6. Índice de Theil. Modelo 3.(1998-1999)	397
Figura.A.III.7. Índice de Theil. Modelo 3PC.(1999)	398
Figura.A.III.8. Índice de Theil. Modelo 3PC.(1998-1999)	398
Figura.A.III.9. Índice de Theil. Modelo 3PCR.(1999)	399
Figura.A.III.10. Índice de Theil. Modelo 3PCR.(1998-1999)	399
Figura.A.III.11. Índice de Theil. Modelo 4.(1999)	400
Figura.A.III.12. Índice de Theil. Modelo 4.(1998-1999)	400